

Особенности электрон-фононного взаимодействия в нанотрубках с хиральной симметрией в магнитном поле

© О.В. Кибис

Новосибирский государственный технический университет,
630092 Новосибирск, Россия

E-mail: Oleg.Kibis@nstu.ru

(Поступила в Редакцию 16 апреля 2001 г.)

Рассмотрено взаимодействие электронов с акустическими фононами в нанотрубке с хиральной симметрией при наличии магнитного поля, параллельного оси нанотрубки. Показано, что в такой системе электронный энергетический спектр асимметричен относительно инверсии волнового вектора электрона, в связи с чем электрон-фононное взаимодействие оказывается различным для одинаковых фононов со взаимно противоположными направлениями волнового вектора. Этот феномен приводит к возникновению электродвижущей силы при пространственно однородном нагреве электронного газа и к появлению квадратичного по току слагаемого в вольт-амперной характеристике нанотрубки.

Работа выполнена при поддержке Российского фонда фундаментальных исследований (гранты № 00-02-17987 и 00-02-18010), Министерства образования Российской Федерации (грант № E00-3.4-506) и INTAS (грант № 99-1661).

В последнее время пристальное внимание теоретиков и экспериментаторов привлекают к себе низкоразмерные структуры с одновременным нарушением пространственной симметрии относительно инверсии координат и фундаментальной симметрии относительно обращения времени. Интерес к исследованию таких систем обусловлен появляющимися в них асимметричным энергетическим спектром электронов

$$\varepsilon(k) \neq \varepsilon(-k), \quad (1)$$

где k — волновой вектор электрона. Благодаря асимметрии (1) электронные свойства этих структур оказываются различными для взаимно противоположных направлений, что приводит к целому ряду принципиально новых физических явлений [1–11]. Так, в частности, здесь возникает асимметрия элементарных электронных взаимодействий, заключающаяся в различном взаимодействии электронов с любыми элементарными возбуждениями (фотонами, акустическими фононами и т.д.), имеющими противоположно направленные волновые векторы [5–7]. В свою очередь асимметрия электрон-фононного взаимодействия приводит к новым термомагнитным эффектам, предсказанным теоретически в работах [8–10] и совсем недавно обнаруженным экспериментально в двумерных структурах с асимметричным квантующим потенциалом [11]. В ходе этих исследований возник вопрос о том, существуют ли другие системы, отличные от двумерных структур, в которых будут реализовываться асимметричный энергетический спектр (1) и связанные с его асимметрией явления. Новым низкоразмерным твердотельным объектом, перспективным с этой точки зрения, является нанотрубка с хиральной симметрией.

Физические свойства нанотрубок с хиральной симметрией (трубок диаметром около нанометра, расположенные атомы в которых обладает симметрией винтовой

линии) стали предметом интенсивных исследований сразу же после первого сообщения о синтезе углеродных нанотрубок [12]. Эти нанотрубки представляют собой свернутый графитовый слой, способ сворачивания которого описывается двумя кристаллографическими параметрами (n, m) , определяющими диаметр нанотрубки и ее хиральность [13–15]. Благодаря винтовой симметрии кристаллической структуры в нанотрубке отсутствует центр инверсии, а при наличии магнитного поля нарушается еще и симметрия относительно обращения времени. Поэтому в углеродных нанотрубках с хиральной симметрией, помещенных в магнитное поле, следует ожидать появления аномальных кинетических эффектов, подобных тем, о которых шла речь выше. Данная работа посвящена первому теоретическому исследованию эффектов, обусловленных особенностями электрон-фононного взаимодействия в такой структуре.

1. Асимметрия энергетического спектра электронов при наличии магнитного поля

При описании нанотрубки с хиральной симметрией воспользуемся моделью [16,17], в рамках которой нанотрубка рассматривается как совокупность одинаковых атомов (или атомных ячеек), расположенных с периодом b вдоль винтовой линии (схематичное изображение фрагмента нанотрубки приведено на рисунке). Пусть при этом диаметр винтовой линии $D \gg b$, а шаг винтовой линии $d \ll D$, так что длина одного витка винтовой линии

$$\sqrt{\pi^2 D^2 + d^2} = N_0 b,$$

где

$$N_0 \gg 1$$

есть число атомов в одном витке. Поместим нанотрубку в магнитное поле \mathbf{H} , направленное вдоль оси винтовой линии. Если магнитное поле является достаточно слабым, то оно практически не влияет на величину модуля волновой функции электрона в отдельно взятом атоме, приводя лишь к изменениям ее фазы при переходе от одного атома к другому. В этом случае гамильтониан электрона в нанотрубке в приближении сильной связи определяется выражением

$$\begin{aligned} \hat{\mathcal{H}} = & \sum_n (|n\rangle\langle n|\mathcal{H}|n\rangle\langle n| + |n\rangle\langle n|\mathcal{H}|n+1\rangle\langle n+1| \\ & + |n\rangle\langle n|\mathcal{H}|n-1\rangle\langle n-1| + |n\rangle\langle n|\mathcal{H}|n \\ & + N_0\rangle\langle n+N_0| + |n\rangle\langle n|\mathcal{H}|n-N_0\rangle\langle n-N_0|), \end{aligned} \quad (2)$$

где $|n\rangle$ — состояние электрона, соответствующее его нахождению у атома с номером n (нумерация атомов $n = \dots - 1, 0, 1, \dots$ ведется вдоль винтовой линии), $\langle n|\mathcal{H}|n\rangle = \varepsilon_0$ — энергия электрона в изолированном атоме, а матричные элементы гамильтониана, определяющие амплитуду перехода электрона от атома n к его четырем ближайшим соседям $n \pm 1$ и $n \pm N_0$, имеют вид

$$\langle n|\mathcal{H}|n \pm 1\rangle = -A(l_{n,n \pm 1}) \exp(i\varphi_{n \pm 1}),$$

$$\langle n|\mathcal{H}|n \pm N_0\rangle = -A(l_{n,n \pm N_0}) \exp(i\varphi_{n \pm N_0}).$$

Здесь $-A(l_{n,m})$ — вещественный интеграл перекрытия волновых функций атомов n и m в отсутствие магнитного поля, зависящий от расстояния $l_{n,m}$ между этими атомами, а обусловленные магнитным полем фазовые сдвиги определяются выражениями

$$\varphi_{n \pm N_0} = \frac{e}{\hbar c} \int_n^{n \pm N_0} \mathbf{A}_H(\mathbf{r}') d\mathbf{r}', \quad (3)$$

$$\varphi_{n \pm 1} = \frac{e}{\hbar c} \int_n^{n \pm 1} \mathbf{A}_H(\mathbf{r}') d\mathbf{r}', \quad (4)$$

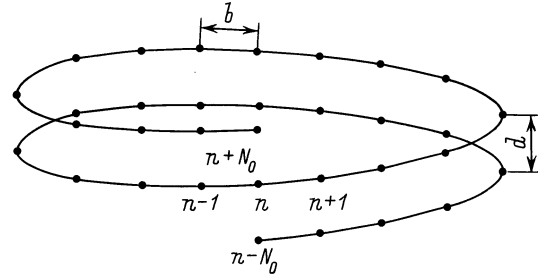
где $\mathbf{A}_H(\mathbf{r})$ — векторный потенциал магнитного поля, e — модуль заряда электрона. При этом интегрирование в (3) ведется вдоль отрезка прямой, соединяющего расположенные в соседних витках атомы n и $n \pm N_0$, а в (4) — вдоль отрезка, соединяющего атомы n и $n \pm 1$. Выбрав векторный потенциал в аксиально-симметричной калибровке

$$\mathbf{A}_H = \frac{1}{2} \mathbf{H} \times \mathbf{r},$$

получим из общих соотношений (3) и (4)

$$\varphi_{n \pm N_0} = 0,$$

$$\varphi_{n \pm 1} = \pm 2\pi \frac{\nu(H)}{N_0},$$



Фрагмент нанотрубки, образованной расположенными вдоль винтовой линии атомами.

где

$$\nu(H) = \frac{\pi D^2 e H}{4ch}$$

есть число квантов магнитного потока hc/e через поперечное сечение нанотрубки. Рассмотрим сначала ситуацию, когда фононы в нанотрубке отсутствуют, благодаря чему межатомные расстояния $l_{n,m}$ не меняются с течением времени, так что в любой момент $l_{n,n \pm 1} = b$ и $l_{n,n \pm N_0} = d$. В этом случае гамильтониан (2) принимает вид

$$\begin{aligned} \hat{\mathcal{H}}_0 = & \sum_n (|n\rangle\varepsilon_0\langle n| - |n\rangle A(b) \exp(i\varphi_{n+1})\langle n+1| \\ & - |n\rangle A(b) \exp(i\varphi_{n-1})\langle n-1| - |n\rangle A(d)\langle n+N_0| \\ & - |n\rangle A(d)\langle n-N_0|). \end{aligned} \quad (5)$$

Собственно волновые функции этого гамильтониана определяются выражением

$$\psi_k = \sum_n C_n(k) |n\rangle, \quad (6)$$

где амплитуда нахождения электрона у атома с номером n есть

$$C_n(k) = \frac{1}{\sqrt{N}} \exp(inkb) \exp[-i\varepsilon(k)t/\hbar], \quad (7)$$

k — волновое число электрона, соответствующее его движению вдоль винтовой линии, N — полное число атомов в нанотрубке, а энергия электронов в нанотрубке

$$\begin{aligned} \varepsilon(k) = & \varepsilon_0 - 2A(b) \cos\left(kb + 2\pi \frac{\nu(H)}{N_0}\right) \\ & - 2A(d) \cos(N_0kb). \end{aligned} \quad (8)$$

Из (8) следует, что энергетический спектр электрона в нанотрубке является периодической функцией магнитного поля, причем при магнитных полях, удовлетворяющих условию

$$\frac{\nu(H)}{N_0} \neq z \quad (z = 0, 1, 2, 3, \dots),$$

возникает интересующий нас асимметричный энергетический спектр (1).

Прежде чем перейти к анализу эффектов, появляющихся в нанотрубках благодаря асимметрии (1), адаптируем нашу модель применительно к простому случаю углеродных нанотрубок со слабой хиральностью типа $(n, 1)$, где $n \gg 1$. В таких нанотрубках межатомные расстояния $b \approx d$, вследствие чего интегралы перекрытия атомных волновых функций $A(b) \approx A(d)$. Поэтому во всех дальнейших расчетах будем полагать, что

$$b = d = a, \quad A(b) = A(d) = A(a),$$

где $a \sim 10^{-8}$ см — характерный период кристаллической структуры нанотрубки, $A(a) \sim eV$ — характерный интеграл перекрытия. Ограничимся в последующем анализе случаем слабых магнитных полей, удовлетворяющих условию

$$\frac{\nu(H)}{N_0} \ll 1, \quad (9)$$

и будем рассматривать ситуацию, когда электроны занимают состояния в небольшой окрестности минимума энергетической зоны (8), расположенного в отсутствие магнитного поля в точке $k = 0$. Выбирая начало отсчета энергии в точке минимума, получим из соотношения (8), что энергетический спектр электрона вблизи этого минимума при наличии магнитного поля имеет вид

$$\varepsilon_k = \frac{\hbar^2(k - k_H)^2}{2m}, \quad (10)$$

где сдвиг минимума зоны проводимости под действием магнитного поля

$$k_H = -\frac{2\pi}{aN_0^3} \nu(H),$$

а эффективная масса электрона

$$m = \frac{\hbar^2}{2A(a)N_0^2 a^2}.$$

2. Пространственная асимметрия электрон-фононного взаимодействия

В рассматриваемой нанотрубке фононные состояния описываются волновым числом q , характеризующим распространение акустической волны вдоль винтовой линии. При этом могут существовать продольные акустические фононы (для которых смещения атомов из положения равновесия происходят вдоль винтовой линии) и поперечные акустические фононы (для которых смещения атомов происходят в направлении, перпендикулярном винтовой линии). Рассмотрим взаимодействие электронов с этими различными типами колебаний кристаллической решетки при наличии асимметричного энергетического спектра (1).

В присутствии продольных фононов координата x_n атома n вдоль винтовой линии определяется соотношением

$$x_n = na + \tilde{x}_n, \quad (11)$$

где смещение атома из положения равновесия

$$\tilde{x}_n = \sum_{q_l} u_{q_l} \exp(inq_l a) \exp[-i\omega(q_l)t],$$

q_l — волновое число продольного фонона, амплитуда смещения атома

$$u_{q_l} = \left[\frac{\hbar}{2\omega(q_l)NM} \right]^{1/2},$$

частота фонона

$$\omega(q_l) = v_l |q_l|,$$

v_l — скорость продольной акустической волны, M — масса атома. Подставим (11) в интегралы перекрытия и учтем, что изменение межатомного расстояния вследствие наличия фононов существенно меньше кристаллического периода a , так что

$$\frac{|\tilde{x}_n - \tilde{x}_{n\pm 1}|}{a} \ll 1.$$

Тогда, разлагая интегралы перекрытия атомных волновых функций $A(l_{n,m})$ в ряд по степеням этого малого параметра и ограничиваясь величинами первого порядка малости, получим из (2)

$$\hat{\mathcal{H}} = \hat{\mathcal{H}}_0 + \sum_{q_l} \hat{\mathcal{H}}_{q_l}. \quad (12)$$

Здесь $\hat{\mathcal{H}}_{q_l}$ — гамильтониан взаимодействия электрона с продольным фононом q_l , определяемый выражением

$$\begin{aligned} \hat{\mathcal{H}}_{q_l} = & \sum_n (|n\rangle \langle n| \mathcal{H}_{q_l} |n+1\rangle \langle n+1| \\ & + |n\rangle \langle n| \mathcal{H}_{q_l} |n-1\rangle \langle n-1|), \end{aligned} \quad (13)$$

где матричные элементы

$$\begin{aligned} \langle n| \mathcal{H}_{q_l} |n+1\rangle &= (\Xi/a) u_{q_l} \exp[-i\omega(q_l)t] \exp(inq_l a) \\ &\quad \times \exp(i\varphi_{n+1}) [\exp(iq_l a) - 1], \\ \langle n| \mathcal{H}_{q_l} |n-1\rangle &= (\Xi/a) u_{q_l} \exp[-i\omega(q_l)t] \exp(inq_l a) \\ &\quad \times \exp(i\varphi_{n-1}) [1 - \exp(-iq_l a)], \end{aligned}$$

а константа деформационного потенциала нанотрубки

$$\Xi = -a \left. \frac{dA(l)}{dl} \right|_{l=a}.$$

Вероятность поглощения электронами фонона q_l определяется хорошо известным квантово-механическим соотношением

$$\begin{aligned} W_a(q_l) = & \frac{f_{BE}(q_l)}{\hbar^2} \sum_k \sum_{k'} |\langle \psi_{k'} | \hat{\mathcal{H}}_{q_l} | \psi_k \rangle|^2 \\ & \times f_{FD}(\varepsilon_k) [1 - f_{FD}(\varepsilon_{k'})], \end{aligned} \quad (14)$$

где $f_{BE}(q)$ — функция распределения Бозе–Эйнштейна для фонона в состоянии с волновым числом q , $f_{FD}(\varepsilon)$ —

функция распределения Ферми–Дирака для электрона в состоянии с энергией ε , а $\langle \psi_{k'} | \hat{\mathcal{H}}_{q_l} | \psi_k \rangle$ есть матричный элемент электрон-фононного взаимодействия, соответствующий переходу электрона из состояния k в состояние k' при поглощении фонона q_l . Подставляя в этот матричный элемент явные выражения для волновой функции (6), (7) и для гамильтониана электрон-фононного взаимодействия (13), получим

$$\begin{aligned} \langle \psi_{k'} | \hat{\mathcal{H}}_{q_l} | \psi_k \rangle &= i \left(\frac{2\pi}{a} \right)^2 \left(\frac{\Xi \hbar}{N} \right) \left(\frac{2\hbar}{\omega(q_l)NM} \right)^{1/2} \\ &\times \delta(\varepsilon_k + \hbar\omega(q_l) - \varepsilon_{k'}) \delta(k + q_l - k') \\ &\times \left[\sin \left([q_l + k]a + 2\pi \frac{\nu(H)}{N_0} \right) \right. \\ &\left. - \sin \left(ka + 2\pi \frac{\nu(H)}{N_0} \right) \right]. \end{aligned} \quad (15)$$

Из (14), (15) с учетом (10) получаем, что в линейном порядке по магнитному полю вероятность поглощения продольного фонона в единицу времени на единице длины винтовой линии определяется выражением

$$w_a(q_l) = w_{a0}(q_l) \left[1 - \frac{4\pi amv_l}{\hbar N_0} \frac{q_l}{|q_l|} \nu(H) \right], \quad (16)$$

где

$$\begin{aligned} w_{a0}(q_l) &= \left(\frac{4\Xi^2 m}{\hbar^2 v_l MN} \right) f_{\text{FD}} \left(\frac{\hbar^2}{2m} \left[\frac{mv_l}{\hbar} - \frac{|q_l|}{2} \right]^2 \right) \\ &\times \left[1 - f_{\text{FD}} \left(\frac{\hbar^2}{2m} \left[\frac{mv_l}{\hbar} + \frac{|q_l|}{2} \right]^2 \right) \right] f_{\text{BE}}(q_l) \end{aligned} \quad (17)$$

есть вероятность поглощения фонона в отсутствие магнитного поля. Соответственно вероятность излучения продольного фонона q_l определяется выражением

$$w_e(q_l) = w_{e0}(q_l) \left[1 - \frac{4\pi amv_l}{\hbar N_0} \frac{q_l}{|q_l|} \nu(H) \right], \quad (18)$$

где

$$\begin{aligned} w_{e0}(q_l) &= \left(\frac{4\Xi^2 m}{\hbar^2 v_l MN} \right) f_{\text{FD}} \left(\frac{\hbar^2}{2m} \left[\frac{mv_l}{\hbar} + \frac{|q_l|}{2} \right]^2 \right) \\ &\times \left[1 - f_{\text{FD}} \left(\frac{\hbar^2}{2m} \left[\frac{mv_l}{\hbar} - \frac{|q_l|}{2} \right]^2 \right) \right] [f_{\text{BE}}(q_l) + 1] \end{aligned} \quad (19)$$

есть вероятность излучения фонона в отсутствие магнитного поля.

Анализ взаимодействия электронов с поперечными акустическими фононами по идее аналогичен проведенному выше анализу взаимодействия с продольными фононами. Отличие от случая продольных фононов заключается лишь в том, что поперечные фононы меняют

расстояние между атомами, расположенными в различных витках винтовой линии. При наличии поперечных фононов координата z_n атома n вдоль оси винтовой линии определяется соотношением

$$z_n = na + \tilde{z}_n, \quad (20)$$

где смещение атома из положения равновесия

$$\tilde{z}_n = \sum_{q_t} u_{q_t} \exp(inq_t a) \exp[-i\omega(q_t)t],$$

q_t — волновое число поперечного фонона, амплитуда смещения атома

$$u_{q_t} = \left[\frac{\hbar}{2\omega(q_t)NM} \right]^{1/2},$$

частота поперечного фонона

$$\omega(q_t) = v_t |q_t|,$$

а v_t — скорость поперечной акустической волны. Подставим (2) в интегралы перекрытия и учтем, что изменение межатомного расстояния вследствие наличия фононов существенно меньше шага винтовой линии, так что

$$\frac{|\tilde{z}_n - \tilde{z}_{n\pm 1}|}{a} \ll 1.$$

Тогда, разлагая интегралы перекрытия атомных волновых функций $A(l_{n,m})$ в ряд по степеням этого малого параметра и ограничиваясь величинами первого порядка малости, получим из (2)

$$\hat{\mathcal{H}} = \hat{\mathcal{H}}_0 + \sum_{q_t} \hat{\mathcal{H}}_{q_t}. \quad (21)$$

Здесь $\hat{\mathcal{H}}_{q_t}$ — гамильтониан взаимодействия электрона с поперечным фононом q_t , определяемый выражением

$$\begin{aligned} \hat{\mathcal{H}}_{q_t} &= \sum_n (|n\rangle \langle n | \mathcal{H}_{q_t} | n + N_0 \rangle \langle n + N_0 | \\ &+ |n\rangle \langle n | \mathcal{H}_{q_t} | n - N_0 \rangle \langle n - N_0 |), \end{aligned} \quad (22)$$

где матричные элементы

$$\begin{aligned} \langle n | \hat{\mathcal{H}}_{q_t} | n + N_0 \rangle &= (\Xi/a) u_{q_t} \exp[-i\omega(q_t)t] \\ &\times \exp(inq_t a) [\exp(iN_0 q_t a) - 1], \\ \langle n | \mathcal{H}_{q_t} | n - N_0 \rangle &= (\Xi/a) u_{q_t} \exp[-i\omega(q_t)t] \\ &\times \exp(inq_t a) [1 - \exp(-iN_0 q_t a)]. \end{aligned}$$

Соответственно вероятность поглощения электронами поперечного фонона

$$\begin{aligned} W_a(q_t) &= \frac{f_{\text{BE}}(q_t)}{\hbar^2} \sum_k \sum_{k'} |\langle \psi_{k'} | \hat{\mathcal{H}}_{q_t} | \psi_k \rangle|^2 \\ &\times f_{\text{FD}}(\varepsilon_k) [1 - f_{\text{FD}}(\varepsilon_{k'})], \end{aligned} \quad (23)$$

где матричный элемент электрон-фононного взаимодействия, соответствующий переходу электрона из состоя-

ния k в состояние k' при поглощении фонона q_t , есть

$$\begin{aligned} \langle \psi_{k'} | \hat{H}_{q_t} | \psi_k \rangle &= i \left(\frac{2\pi}{a} \right)^2 \left(\frac{\Xi \hbar}{N} \right) \left(\frac{2\hbar}{\omega(q_t)NM} \right)^{1/2} \\ &\times \delta(\varepsilon_k + \hbar\omega(q_t) - \varepsilon_{k'}) \delta(k + q_t - k') \\ &\times [\sin(N_0[q_t + k]a) - \sin(N_0ka)]. \end{aligned} \quad (24)$$

Из (23) и (24) с учетом (10) получаем, что в линейном порядке по магнитному полю вероятность поглощения поперечного фонона в единицу времени на единице длины винтовой линии определяется выражением

$$w_a(q_t) = w_{a0}(q_t) \left[1 + \frac{4\pi amv_t}{\hbar N_0} \frac{q_t}{|q_t|} \nu(H) \right], \quad (25)$$

где

$$\begin{aligned} w_{a0}(q_t) &= \left(\frac{4\Xi^2 m N_0^2}{\hbar^2 v_t MN} \right) f_{\text{FD}} \left(\frac{\hbar^2}{2m} \left[\frac{mv_t}{\hbar} - \frac{|q_t|}{2} \right]^2 \right) \\ &\times \left[1 - f_{\text{FD}} \left(\frac{\hbar^2}{2m} \left[\frac{mv_t}{\hbar} + \frac{|q_t|}{2} \right]^2 \right) \right] f_{\text{BE}}(q_t) \end{aligned} \quad (26)$$

есть вероятность поглощения поперечного фонона в отсутствие магнитного поля. Соответственно вероятность излучения поперечного фонона определяется выражением

$$w_e(q_t) = w_{e0}(q_t) \left[1 + \frac{4\pi amv_t}{\hbar N_0} \frac{q_t}{|q_t|} \nu(H) \right], \quad (27)$$

где

$$\begin{aligned} w_{e0}(q_t) &= \left(\frac{4\Xi^2 m N_0^2}{\hbar^2 v_t MN} \right) f_{\text{FD}} \left(\frac{\hbar^2}{2m} \left[\frac{mv_t}{\hbar} + \frac{|q_t|}{2} \right]^2 \right) \\ &\times \left[1 - f_{\text{FD}} \left(\frac{\hbar^2}{2m} \left[\frac{mv_t}{\hbar} - \frac{|q_t|}{2} \right]^2 \right) \right] [f_{\text{BE}}(q_t) + 1] \end{aligned} \quad (28)$$

есть вероятность излучения поперечного фонона в отсутствие магнитного поля.

Из полученных выражений (16), (18), (25) и (27) непосредственно следует пространственная асимметрия электрон-фононного взаимодействия: вероятности взаимодействия электронов с одинаковыми фононами, имеющими взаимно противоположные направления волнового вектора, оказываются различными.

3. Возникновение ЭДС при однородном нагреве электронного газа

Обсудим теперь взаимодействие между электронной и фононной системами, находящимися в неравновесном состоянии вследствие пространственно однородного на-

грева. В этом случае распределение фононов по энергии описывается функцией Бозе–Эйнштейна

$$f_{\text{BE}}(q) = \left[\exp \left(\frac{\hbar\omega(q)}{k_{\text{BT}}} \right) - 1 \right]^{-1},$$

где T — температура кристаллической решетки, а распределение электронов по энергии описывается функцией Ферми–Дирака

$$f_{\text{FD}}(\varepsilon) = \left[\exp \left(\frac{\varepsilon - \varepsilon_{\text{F}}}{k_{\text{B}}T_e} \right) + 1 \right]^{-1},$$

где T_e — электронная температура. При $T_e < T$ происходит передача энергии от фононной системы к электронной системе, сопровождающаяся поглощением фононов электронами. При $T_e > T$, наоборот, происходит передача энергии от электронов к фононной системе, сопровождающаяся излучением фононов. Поскольку вероятности электрон-фононного взаимодействия различны для фононов с противоположными направлениями волнового вектора, передача энергии сопровождается изменением импульса электронной системы, что приведет к появлению электродвижущей силы при $T_e \neq T$. Этот феномен представляет собой частное проявление универсального эффекта [7], заключающегося в возникновении ЭДС при изотропном возмущении любой электронной системы с асимметричным энергетическим спектром (1). В данном случае в роли изотропного возмущения выступает пространственно однородный нагрев.

Будем рассматривать достаточно низкие температуры, когда можно пренебречь электрон-фононными процессами переброса за пределы первой зоны Бриллюэна. В этом случае средняя сила, действующая на один электрон со стороны фононной системы, есть

$$\begin{aligned} F &= \frac{\hbar}{n_L} \sum_{q_t} q_t [w_a(q_t) - w_e(q_t)] \\ &+ \frac{\hbar}{n_L} \sum_{q_t} q_t [w_a(q_t) - w_e(q_t)], \end{aligned} \quad (29)$$

где n_L — концентрация электронов на единицу длины винтовой линии. Соответственно напряженность электрического поля сторонних сил

$$E^* = -\frac{F}{e}, \quad (30)$$

и возникающая в нанотрубке ЭДС имеет вид

$$\mathcal{E} = \int_{-L/2}^{L/2} E^* dx, \quad (31)$$

где $L = Na$ — длина винтовой линии. Из (29)–(31) получаем, что интересующая нас ЭДС определяется

выражением

$$\begin{aligned} \mathcal{E} = & \frac{\hbar L}{n_L e} \sum_{q_l} q_l [w_e(q_l) - w_a(q_l)] \\ & + \frac{\hbar L}{n_L e} \sum_{q_l} q_l [w_e(q_l) - w_a(q_l)]. \end{aligned} \quad (32)$$

Из соотношений для вероятностей электрон-фононного взаимодействия (16)–(19) и (25)–(28) следует, что

$$\frac{w_a(q_l)}{w_e(q_l)} \sim \frac{w_e(q_l)}{w_e(q_l)} \sim N_0^2 \gg 1,$$

в связи с чем основной вклад в формирование ЭДС (32) вносит взаимодействие с поперечными фононами. Пренебрежем в (32) взаимодействием электронов с продольными фононами и подставим в это выражение соотношения (25)–(28). Тогда, переходя от суммирования по фононным состояниям к интегрированию по фононному волновому числу, получаем из (32)

$$\begin{aligned} \mathcal{E} = & \left(\frac{4\Xi ma}{\hbar} \right)^2 \left(\frac{LN_0}{Men_L} \right) \nu(H) \\ & \times \int_0^\infty dq_l q_l \left\{ \left[1 - f_{FD} \left(\frac{\hbar^2}{2m} \left[\frac{mv_l}{2} - \frac{|q_l|}{2} \right]^2 \right) \right] f_{FD} \right. \\ & \times \left(\frac{\hbar^2}{2m} \left[\frac{mv_l}{\hbar} + \frac{|q_l|}{2} \right]^2 \right) [f_{BE}(q_l) + 1] \\ & - \left[1 - f_{FD} \left(\frac{\hbar^2}{2m} \left[\frac{mv_l}{\hbar} + \frac{|q_l|}{2} \right]^2 \right) \right] f_{FD} \\ & \left. \times \left(\frac{\hbar^2}{2m} \left[\frac{mv_l}{\hbar} - \frac{|q_l|}{2} \right]^2 \right) f_{BE}(q_l) \right\}. \end{aligned} \quad (33)$$

Будем полагать электрон-фононное взаимодействие квазиупругим процессом, что адекватно требованию

$$\frac{mv_l^2}{k_B T_e} \ll 1,$$

и рассматривать случай сильного перегрева электронного газа, когда

$$\frac{T}{T_e} \ll 1.$$

При выполнении этих условий выражение (33) принимает простой вид

$$\begin{aligned} \mathcal{E} = & \left(\frac{4\Xi ma}{\hbar} \right)^2 \left(\frac{LN_0}{Men_L} \right) \nu(H) \\ & \times \int_0^\infty dq_l q_l \left[1 - f_{FD} \left(\frac{\hbar^2 q_l^2}{8m} \right) \right] f_{FD} \left(\frac{\hbar^2 q_l^2}{8m} \right), \end{aligned} \quad (34)$$

и после элементарного интегрирования в (34) получаем окончательное выражение для интересующей нас ЭДС

$$\begin{aligned} \mathcal{E} = & \left(\frac{8\Xi ma}{\hbar^2} \right)^2 \left(\frac{LN_0 m k_B T_e}{Men_L} \right) \nu(H) \\ & \times \left[1 + \exp \left(-\frac{\varepsilon_F}{k_B T_e} \right) \right]^{-1}. \end{aligned} \quad (35)$$

В случае вырожденного электронного газа

$$\exp \left(-\frac{\varepsilon_F}{k_B T_e} \right) \ll 1$$

и ЭДС (35) линейно зависит от температуры

$$\mathcal{E} = \left(\frac{8\Xi ma}{\hbar^2} \right)^2 \left(\frac{LN_0 m k_B T_e}{Men_L} \right) \nu(H). \quad (36)$$

Для невырожденного электронного газа

$$\exp \left(-\frac{\varepsilon_F}{k_B T_e} \right) \gg 1,$$

$$n_L = \sqrt{\frac{m k_B T_e}{2\hbar^2 \pi}} \exp \left(\frac{\varepsilon_F}{k_B T_e} \right),$$

в связи с чем ЭДС (35) в этом случае корневым образом зависит от температуры

$$\mathcal{E} = \left(\frac{8\Xi ma}{\hbar^2} \right)^2 \left(\frac{LN_0 \hbar}{Me} \right) \nu(H) \sqrt{2\pi m k_B T_e}. \quad (37)$$

Для углеродных нанотрубок с диаметром $D \sim 10^{-9}$ м при магнитных полях $H \sim 10^4$ Г и электронных температурах $T_e \sim 10^2$ К получаем из (37)

$$\frac{\mathcal{E}}{L} \sim 10^{-4} \text{ В/см.}$$

4. Влияние асимметричного электрон-фононного взаимодействия на вольт-амперную характеристику нанотрубки

Наиболее простым способом разогрева электронной системы относительно кристаллической решетки, приводящим к появлению ЭДС \mathcal{E} , является разогрев с помощью джоулева тепла. Поэтому протекание по нанотрубке электрического тока J при наличии внешнего магнитного поля будет сопровождаться возникновением ЭДС \mathcal{E} , приводящей к изменению вольт-амперной характеристики. Таким образом, для анализа влияния электрон-фононного взаимодействия на вольт-амперную характеристику нанотрубки необходимо установить взаимосвязь между величинами J и \mathcal{E} .

Энергия $J^2 R$, получаемая электронной системой от источника тока в единицу времени, передается кристаллической решетке посредством излучения фононов, в

связи с чем уравнение энергетического баланса между электронной и фононной системами имеет вид

$$J^2 R = L \sum_{q_l} \hbar \omega(q_l) [w_e(q_l) - w_a(q_l)] + L \sum_{q_t} \hbar \omega(q_t) [w_e(q_t) - w_a(q_t)], \quad (38)$$

где R — сопротивление нанотрубки. Из ранее проведенного анализа следует, что основной вклад в процессы электрон-фононного взаимодействия вносят поперечные фононы, благодаря чему можно пренебречь в (38) взаимодействием электронов с продольными фононами. Подставляя в (38) соотношения (25)–(28) для вероятностей взаимодействия электронов с поперечными фононами и переходя от суммирования по фононным состояниям к интегрированию по фононному волновому числу, получаем

$$J^2 R = \left(\frac{4\Xi^2 m N_0^2 L a}{\hbar \pi M} \right) \times \int_0^\infty dq_t q_t \left\{ \left[1 - f_{\text{FD}} \left(\frac{\hbar^2}{2m} \left[\frac{mv_t}{\hbar} - \frac{|q_t|}{2} \right]^2 \right) \right] f_{\text{FD}} \times \left(\frac{\hbar^2}{2m} \left[\frac{mv_t}{\hbar} + \frac{|q_t|}{2} \right]^2 \right) [f_{\text{BE}}(q_t) + 1] - \left[1 - f_{\text{FD}} \left(\frac{\hbar^2}{2m} \left[\frac{mv_t}{\hbar} + \frac{|q_t|}{2} \right]^2 \right) \right] f_{\text{FD}} \times \left(\frac{\hbar^2}{2m} \left[\frac{mv_t}{\hbar} - \frac{|q_t|}{2} \right]^2 \right) f_{\text{BE}}(q_t) \right\}. \quad (39)$$

Из сопоставления (39) и (33) следует, что фигурирующие в этих выражениях интегралы идентичны, благодаря чему прямая подстановка (39) в (33) приводит к интересующему нас соотношению между величинами \mathcal{E} и J

$$\mathcal{E} = \alpha(H) J^2, \quad (40)$$

где

$$\alpha(H) = \frac{4\pi m a R}{\hbar e n_L N_0} \nu(H).$$

Разность потенциалов U между концами нанотрубки при протекании по ней тока J будет представлять собой сумму обычного омического члена JR и ЭДС (40), в связи с чем вольт-амперная характеристика нанотрубки $U(J)$ будет определяться выражением

$$U(J) = JR + \alpha(H) J^2. \quad (41)$$

Из (41) следует, что пространственная асимметрия электрон-фононного взаимодействия приводит к появлению квадратичного по току слагаемого в вольт-амперной характеристике. При $N_0 \approx 5$, $n_L \sim 10^4 \text{ cm}^{-1}$, $J \sim 10 \text{ nA}$

и $H \sim 10^5 \text{ G}$ вклад квадратичного по току слагаемого в напряжение (41) составляет десятые доли процента от вклада омического члена.

Итак, в нанотрубках с хиральной симметрией при наличии направленного вдоль оси нанотрубки магнитного поля появляется асимметричный энергетический спектр электронов. Благодаря этой асимметрии возникает различное взаимодействие электронов с одинаковыми фононами, движущимися во взаимно противоположных направлениях. Эта пространственная асимметрия электрон-фононного взаимодействия приводит к тому, что передача энергии от электронной системы к кристаллической решетке посредством излучения фононов сопровождается изменением импульса электронной системы и как следствие возникновением ЭДС. В частности, эта ЭДС может появляться при разогреве электронной системы джоулевым теплом протекающего по нанотрубке электрического тока. Поскольку разогрев электронной системы не зависит от направления тока, возникающая ЭДС приводит к появлению квадратичного по току слагаемого в вольт-амперной характеристике нанотрубки. Величина этого квадратичного слагаемого и соответственно приобретаемые нанотрубкой выпрямляющие свойства управляются магнитным полем, что открывает новые перспективы для использования нанотрубки в качестве элемента функциональной электроники.

Список литературы

- [1] А.А. Горбачевич, В.В. Капаев, Ю.В. Копаев. Письма в ЖЭТФ **57**, 9, 565 (1993).
- [2] Ю.А. Алещенко, И.Д. Воронова, С.П. Гришечкина, В.В. Капаев, Ю.В. Копаев, И.В. Кучеренко, В.И. Кадушкин, С.И. Фомичев. Письма в ЖЭТФ **58**, 5, 377 (1993).
- [3] О.Е. Омеляновский, В.И. Цебро, В.И. Кадушкин. Письма в ЖЭТФ **63**, 3, 197 (1996).
- [4] А.А. Горбачевич, В.В. Капаев, Ю.В. Копаев, И.В. Кучеренко, О.Е. Омеляновский, В.И. Цебро. Письма в ЖЭТФ **68**, 5, 380 (1998).
- [5] О.В. Кибис. Письма в ЖЭТФ **66**, 8, 551 (1997).
- [6] O.V. Kibis. Phys. Lett. **A237**, 292 (1998); **A244**, 574 (1998).
- [7] O.V. Kibis. Physica **B256–258**, 449 (1998).
- [8] O.V. Kibis. Phys. Lett. **A244**, 432 (1998).
- [9] О.В. Кибис. ЖЭТФ **115**, 3, 959 (1999).
- [10] O.V. Kibis. Phys. Low-Dim. Struct. **9/10**, 143 (1999).
- [11] A.G. Pogosov, M.V. Budantsev, O.V. Kibis, A. Pouydebasque, D.K. Maude, J.C. Portal. Phys. Rev. **B61**, 23, 15603 (2000).
- [12] S. Iijima. Nature **354**, 56 (1991).
- [13] M.S. Dresselhaus, G. Dresselhaus, P.C. Eklund. Science of Fullerenes and Carbon Nanotubes. Academic Press Inc., San Diego (1996).
- [14] А.В. Елецкий. УФН **167**, 9, 945 (1997).
- [15] L.G. Bulusheva, A.V. Okotrub, D.A. Romanov, D. Tomanek. Phys. Low-Dim. Struct. **3/4**, 107 (1998).
- [16] D.A. Romanov, O.V. Kibis. Phys. Lett. **A178**, 335 (1993).
- [17] О.В. Кибис, Д.А. Романов. ФТТ **37**, 1, 127 (1995).